

УДК 564.53 : 551.763.12(571.51—17)

И. Г. КЛИМОВА

## НОВЫЙ РОД АММОНИТОВ ИЗ НИЖНЕГО ВАЛАНЖИНА СЕВЕРА СРЕДНЕЙ СИБИРИ

Дается описание нового рода в объеме двух новых видов из нижнего валанжина севера Средней Сибири, которые, вероятно, являются самыми древними представителями семейства *Polyptychitidae*.

Новый род аммонитов встречен в валанжинских отложениях на севере Средней Сибири в выходах нижнего валанжина по рекам Анабар, Попигай и Тигян. Эти аммониты обладают своеобразной скульптурой и имеют лопастную линию, характерную для полиптихитид. Они представляют собой интерес не только как неизвестный до сих пор элемент ранневаланжинского комплекса организмов Бореального пояса, но и как один из самых древних представителей семейства *Polyptychitidae*. Ниже дается их описание.

При описании аммонитов была использована терминология, предложенная Г. Я. Крымгольцем [5]. В таблицах измерений приводятся общепринятые обозначения: диаметр раковины — Д, ширина пупка — Ш. п., внешняя высота — В. в., внутренняя высота — в. в., толщина оборота (наиболее взрослого конца его) — Т., коэффициент ветвления — соотношение наружных и пупковых ребер — К. в., пережимы — П. Элементы лопастной линии обозначены с помощью генетической терминологии В. Е. Руженцева [9].

### НАДСЕМЕЙСТВО PERISPHINCTACEAE

#### СЕМЕЙСТВО POLYPTYCHITIDAE SPATH, 1924

#### Род *Bodylevskites*\* Klimova gen. nov.

*Polyptychites* (part): Воронец, 1962, с. 74

Типовой вид. *Bodylevskites harabylensis* Klim., валанжинский ярус, зона *Temnoptychites syzranicus* Северной Сибири.

Диагноз. Раковина дисковидной формы. Боковые поверхности и сифональная сторона в большей или меньшей мере уплощены. Поперечное сечение от овально-прямоугольного до субтрапецевидного. Пупок неглубокий, ступенчатый, умеренно узкий или умеренно широкий. Стенка пупка отвесная, гладкая. Скульптура начинается на пупковом перегибе. На внутренних оборотах пупковые ребра или ветвятся, образуя двух- или трехветвистые пучки с одной точкой ветвления или остаются неразветвленными. Имеются многочисленные вставные ребра, среди которых встречаются и двойные. С ростом раковины пупковые ребра приобретают вид удлиненных невысоких бугорков. Скульптура в нижней половине боковой поверхности сглаживается или сильно пони-

\* Род назван в честь В. И. Бодылевского.

жается, и между пупковыми и наружными ребрами образуется гладкая или сглаженная полоса. Коэффициент ветвления 4—6, с ростом раковины увеличивается. На сифональной стороне ребра усиливаются. Частые пережимы с разными углами наклона. Размеры жилой камеры превышают один оборот. Формула лопастной линии:  $V_1V_1UU^1U^2U^3U^4:U^4U^3U^2ID$ . Вершины седел наружной части лопастной линии лежат на линии, параллельной радиусу.

Обоснование выделения рода. Сочетание лопастной линии, имеющей формулу, характерную для рода *Polyptychites*, по своеобразной скульптуре, не свойственной всем известным представителям семейства *Polyptychitidae*, послужило основанием для установления рода *Bodylevskites*.

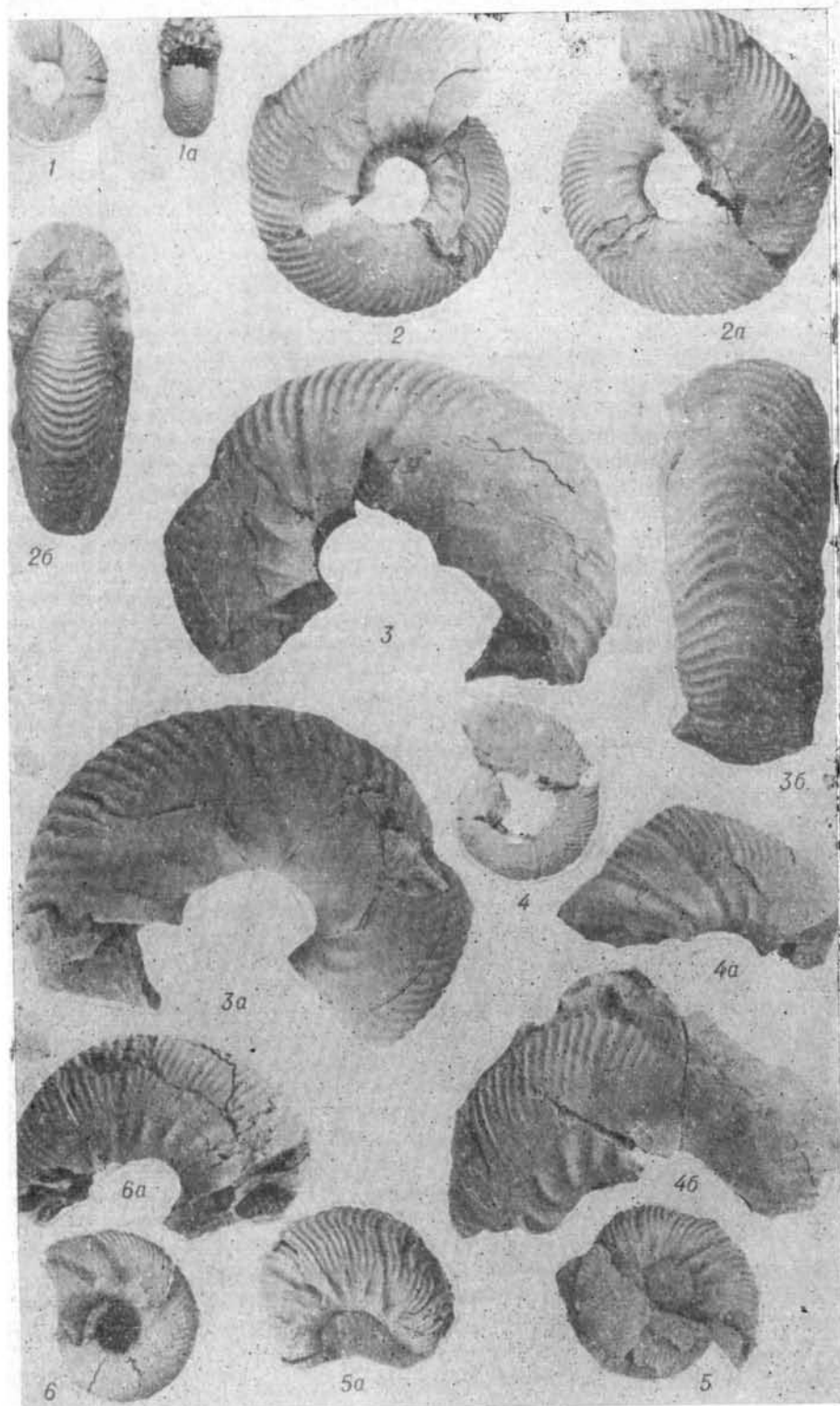
Видовой состав. Два вида: *Bodylevskites harabylenensis* Klim. и *B. polyptychitiformis* Klim.

Сравнение. По форме раковины, характеру пупка и поперечного сечения описываемый род сходен с неокраспедитами из северогерманского верхнего валанжина [12, с. 74—78, табл. V, фиг. 1—16]. Различием между этими родами является скульптура. Все неокраспедиты (судя по изображению Кёнена) на средних и взрослых оборотах имеют более или менее четко выраженные многоветвистые пучки ребер с полиптихитовым, бидихотомным и тридихотомным ветвлением, которые у некоторых видов с ростом раковины сглаживаются на боковых сторонах (скульптура остается только в припупковой части и на сифональной стороне), у других понижается в большей или меньшей степени. Такой тип ребристости не свойствен роду *Bodylevskites*, хотя для него характерно, как было сказано выше, понижение или сглаживание ребер в нижней трети оборота. Сглаживание скульптуры на боках преимущественно при больших диаметрах, известное у многих представителей семейства *Craspeditidae*, также не служит основанием для сравнения с ними описываемых аммонитов. Об этом свидетельствуют все другие морфологические признаки и в первую очередь лопастная линия нового рода.

Формула лопастной линии рода *Bodylevskites* тождественна формуле лопастной линии рода *Polyptychites*. Отличает же эти два рода совершенно различная скульптура.

К роду *Bodylevskites*, судя по сохранившимся признакам, следует отнести два аммонита неполной сохранности из нижнего валанжина п-ва Пахса, описанные и изображенные Н. В. Воронец [1, с. 74, табл. XLI, фиг. 1; табл. XLVIII, фиг. 2] и определенные как *Polyptychites* sp. nova indet.

З а м е ч а н и е. При разработке систематики мезозойских аммонитов с помощью сравнительно-онтогенетического метода было установлено, что онтогенез лопастной линии остается неизменным в пределах семейства [2—4, 7, 10 и др.]. Основываясь на этом положении, автор помещает род *Bodylevskites* в семейство *Polyptychitidae*. Система семейства *Polyptychitidae* в настоящее время не разработана. В современной палеонтологической литературе [6, 11 и др.] указывается, что к семейству *Polyptychitidae* относятся аммониты из валанжинских отложений, которые характеризуются полиптихитовым и дихотомитовым ветвлением ребер. О характере лопастной линии имеются только самые общие замечания. Автор изучала онтогенез лопастной линии типового рода семейства *Polyptychitidae* — рода *Polyptychites*, проследив его у генотипа этого рода *Polyptychites polytychus* (Keys.) и у *P. aff. keyserlingi* (Neum. et Uhl.). Формула лопастной линии р. *Polyptychites* —  $V_1V_1UU^1U^2U^3U^4:U^4U^3U^2ID$ . Идентичная формула у р. *Bodylevskites*, что и дало возможность отнести его к семейству *Polyptychitidae* в качестве одного из его самых древних представителей. Находки описываемых здесь *Bodylevskites* приурочены к низам нижней зоны



Фиг. 1—3. *Bodylevskites harabylensis* Klim. sp. nov. Голотип, № А 7/2. 1 — юный оборот, вид сбоку и поперечное сечение оборота. 2 — средний оборот, вид сбоку слева, вид сбоку справа и поперечное сечение оборота. 3 — фрагмент жилой камеры, вид сбоку слева, вид сбоку справа и с сифонной стороны, р. Анабар, обн. 7, слой 1. Нижний валанжин, зона *Temnoptychites syzranicus*. Фиг. 4. *Bodylevskites harabylensis* Klim. sp. nov. № А 7/7. 4 — юный оборот, вид сбоку. 4а — фрагмент Среднего оборота, вид сбоку. 4б — фрагмент наружного оборота, вид сбоку, р. Анабар, обн. 7, бечевник. Нижний валанжин, зона *Temnoptychites syzranicus*. Фиг. 5. *Bodylevskites harabylensis* Klim. sp. nov. А 7/3, фрагмент деформированного среднего оборота, вид сбоку справа и слева, р. Анабар, обн. 7, слой 1. Нижний валанжин, зона *Temnoptychites syzranicus*. Фиг. 6. *Bodylevskites harabylensis* Klim. sp. nov. № А 7/4, 6 — юный оборот, вид сбоку. 6а — фрагмент среднего оборота, р. Анабар, обн. 7, слой 1. Нижний валанжин, зона *Temnoptychites syzranicus*.

нижнего валанжина. По мнению А. В. Гольберта и автора, этой зоной на севере Средней Сибири является зона *Temnoptychites syzranicus*. Находки же первых полиптихитид-астиериптихитов характеризуют более высокие отложения этой же зоны. Следует сказать, что в одних слоях с бодылевскититами встречаются *Polyptychites* (?) *stubbendorffii* (Schmidt.). Изучение онтогенеза лопастной линии этого вида показало, что он ошибочно отнесен к р. *Polyptychites*, так как формула его лопастной линии  $V_1V_1UU^1U^2U^3U^4U^5:U^4U^3U^2ID$ .

Геологическое и географическое распространение. Нижний валанжин, зона *Temnoptychites syzranicus* Северной Сибири и Арктики.

*Bodylevskites harabylensis* Klimova sp. nov.\*

Табл. 1, фиг. 1—6; табл. 2, фиг. 1, рис. 1—4.

Голотип. Коллекция отдела стратиграфии и палеонтологии СНИИГГИМС в Новосибирске, А 7/2 (табл. 1, фиг. 1—3), р. Анабар, валанжинский ярус, зона *Temnoptychites syzranicus*.

Д и а г н о з. Дисконидная раковина с уплощенными сторонами, субтрапезиевидным поперечным сечением и умеренно широким пупком. При диаметре раковины больше 30 мм скульптура представлена пупковыми и наружными ребрами, сильно наклоненными вперед и не соединенными между собой. В нижней половине боковой поверхности четкая гладкая полоса. До трех пережимов на одном обороте с разными углами наклона. Формула лопастной линии:  $V_1V_1UU^1U^2U^3U^4:U^4U^3U^2ID$ . На пупковом перегибе находится лопасть  $U^2_1$ .

М а т е р и а л. Пять экземпляров, четыре из них частично или полностью деформированы и представлены нецелыми раковинами.

О П И С А Н И Е:

№ обр.	Д	Ш.п., %	В.в., %	в.в., %	Т, %	Рёбристость; К.в.; П.
А7/2 (табл. 1, фиг. 1—3)	4	(1)25	(1,8)45	(1)25	(3)75	Струйчатость
»	5	(1,1)22	(2,5)50	(1,2)24	(3,4)62	»
»	6,5	(2,2)33	(3)46	(1,8)28	(4,3)66	Слабые струйки
»	7,8	(2,4)31	(3,8)48	(2,3)29	(5)64	Чуть заметные струйки, один слабый, чуть наклонный пережим
»	9	(2,5)27	(4)44	(2,3)26	(5,6)62	наклонный пережим
»	12,7	(3,9)31	(6)47	(3,5)28	(7)55	Наружные ребра четкие, пупковые зарождаются на большей части оборота

\* Вид назван по р. Харабыл, местонахождению аммонитов.

№ обр.	Д	Ш. п., %	В.в., %	в.в., %	Т, %	Ребристость К.в.; П.
»	17,2	(4,2)24	(8,5)49	(5,4)31	(9,2)53	3; 3П
»	18,2	(5,3)29	(8,4)46	(5)27	(9,2)51	3; 3П
»	43	(10)23	(19,6)45	(10,7)24	(18)41	3,8; 2П
»	60	—	(24,6)41	(14)23	(26)43	4; 2П
A7/4 (табл. 1, фиг. 6)	8	(2)25	(4,5)56	(2,9)36	(4,7)60	—
»	12	(4)33	(5,8)48	(4,8)40	(6,2)51	Чуть заметные струйки роста
»	18,7	(4,8)25	(8,7)47	(5)26	(7,8)42	Слабые наруж- ные ребра
»	25,3	(7,6)30	(1,2)44	(6,2)24	(9,7)38	Слабые наруж- ные ребра К.в. — 4,3 П
»	~44,8 деформац.	(~12,7)28	(19)42	(13)29	(18,6)41	4,4; 1П
A7/7 (табл. 1, фиг. 4)	~24,5	(5,4)23	(11,5)47	(7)28	(8,2)33	4; 2П

Форма раковины дисковидная. Боковые поверхности плоские, наклонно поставлены к уплощенной сифональной стороне, с которой они сочленяются под почти прямым закругленным углом. Поперечное сечение овально-трапециевидное. Эти признаки аммонит приобретает при достижении раковины диаметра 30—40 мм. На самых внутренних оборотах раковина имеет закругленные очертания и широкоовальное низкое поперечное сечение. С ростом раковины поперечное сечение сужается (толщина раковины при  $D=8-9$  мм, составляет около 60% диаметра, при  $D=43-44$  мм около 40% диаметра) (рис. 1, 2), боковые стороны и сифональная сторона уплощаются.

Пупок ступенчатый, неглубокий, умеренно широкий. Стенка пупка гладкая, отвесная, пупковый перегиб закругленный.

Скульптура в процессе роста раковины изменяется от чуть заметных струек до довольно четких наружных ребер ( $D=13-18$  мм). Затем появляются пупковые ребра, которые возникают на пупковом перегибе, и не исчезая, следятся на всей боковой поверхности или же ветвятся и образуют двойные пучки, которые с ростом раковины исчезают. Все наружные ребра, появившиеся раньше, не связаны с пупковыми. Нижними концами они приближаются к пупковым ребрам, но не присоединяются к ним и затухают в нижней четверти оборота. С ростом раковины в нижней половине боковой поверхности между пупковыми и наружными ребрами возникает четкая гладкая полоса. Коэффициент

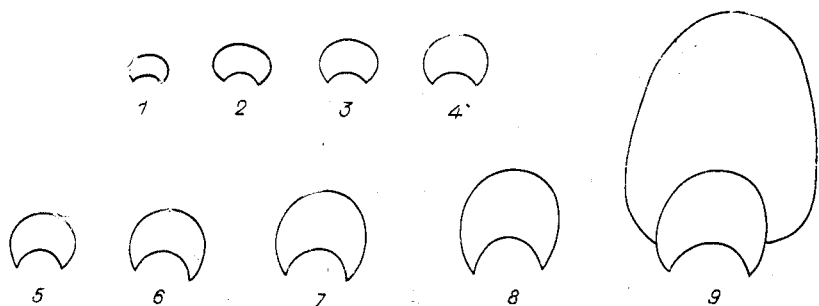
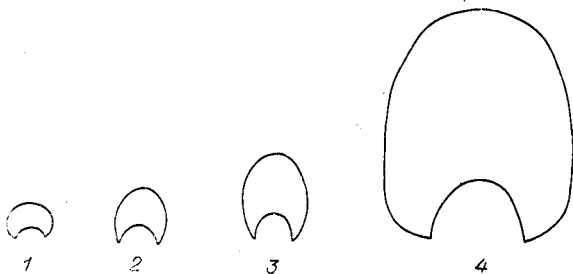


Рис. 1. Онтогенез поперечного сечения голотипа (экз. А 7/2) *Bodylevskites harabylenis* Klimova sp. nov. ( $\times 2,25$ ).

1 —  $D=5$  мм, 2 —  $D=6,5$ , 3 —  $D=7,8$ , 4 —  $D=9$ , 5 —  $D=10,7$ , 6 —  $D=12,7$ , 7 —  $D=17,8$ , 8 —  $D=18,2$ , 9 —  $D=41,8$  мм.

Рис. 2. Онтогенез поперечного сечения *Bodylevskites harabyulensis* Klimova sp. nov. (экз. А 7/4) (X2).

1 — D=8 мм, 2 — D=12, 3 — D=18, 4 — D=45 мм.



ветвления увеличивается от 3 на внутренних оборотах до 4—4,5 на средних и наружных. На всех стадиях роста и пупковые и наружные ребра направлены вперед относительно радиуса под  $45^\circ$  к нему, на сифональной стороне ребра образуют сильный дугообразный выгиб вперед и заметно усиливаются. Вместе с появлением первых ребрышек на раковине появляются пережимы, которые затем фиксируются на всех стадиях роста от одного до трех на одном обороте, в том числе и на жилой камере. Угол наклона пережимов разный: на более молодой части оборота он более пологий и составляет с диаметром раковины угол, равный  $75-65^\circ$ , на более взрослой  $20^\circ$ .

Жилая камера занимает не менее целого оборота (табл. 1, фиг. 3). Устьевая часть ее не сохранилась. Скульптура жилой камеры имеет все признаки скульптуры взрослого камерного оборота.

Лопастная линия имеет формулу  $V_1V_1UU^1U_1^2U_1^4:U_1U_1^2U_1^2ID$ .

Все ее элементы наблюдаются при достижении раковиной диаметра 9—12 мм (рис. 3, 4). Вершины седел наружной части ее лежат на линии, параллельной радиусу. На пупковом перегибе располагается лопасть  $U_1^2$ .

Изменчивость заключается в появлении одних и тех же возрастных изменений скульптуры, связанных с ростом раковины, у разных особей при разных диаметрах раковины. Например, струйчатость, которая у голотипа наблюдается при диаметре 4 мм, у экз. А 7/4 появляется только при  $D=12$  мм. Все последующие изменения скульптуры у голотипа возникают соответственно при меньших диаметрах, у экз. А 7/4 — при больших.

Окончательно сформировавшаяся скульптура у одних экземпляров отмечается при  $D=26$  мм (экз. А 7/2, табл. 1, фиг. 1—3), у других при достижении раковиной в диаметре 40 мм (голотип, экз. А 7/4, табл. 1, фиг. 6).

Кроме указанного, наблюдается еще одно внутривидовое отличие: у одних индивидов имеется ветвление пупковых ребер (экз. А 7/3, табл. 1, фиг. 5), у других оно отсутствует (экз. А 7/7, табл. 1, фиг. 4). В случае ветвления пупковых ребер у одних особей пучки исчезают при  $D=20$  мм (голотип, экз. А 7/2а), у других они наблюдаются до  $D=30$  мм (экз. А 7/3).

С р а в н е н и е. Описываемый вид от других форм этого рода отличается четко выраженной уплощенностью боковых и сифональной сторон, субтрапецевидным поперечным сечением, более косо поставленными ребрами и сглаживанием скульптуры в нижней половине боковой поверхности при меньших размерах раковины. Из аммонитов, описанных в литературе, изучаемые по типу скульптуры взрослых оборотов, уплощенности сторон и характеру поперечного сечения напоминают *Neocraspedites semilaevis* (Koenen) [12, с. 80, табл. V]. Внешняя часть лопастной линии *Neocraspedites semilaevis* (Koenen), изображенная Кёненом [12, табл. V, фиг. 10], по числу элементов и очертанию их напоминает таковую описываемого рода. Различия между этими двумя видами заключаются в форме раковины — более низкой и толстой с бо-

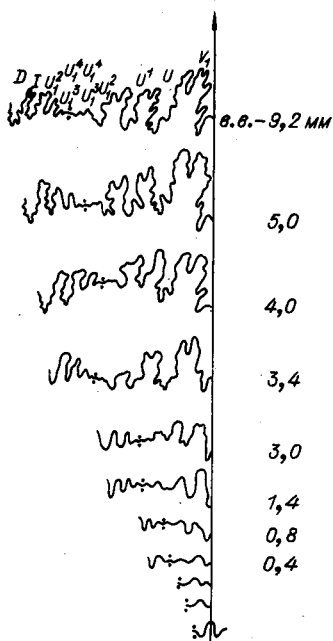


Рис. 3. Онтогенез лопастной линии голотипа (экз. А 7/2) *Bodylevskites harabylensis* Klimova sp. nov.

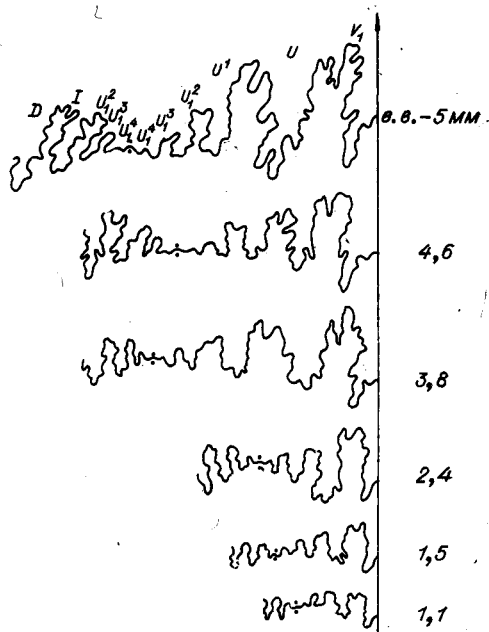


Рис. 4. Онтогенез лопастной линии *Bodylevskites harabylensis* Klimova sp. nov. (экз. А 7/4).

лее широкой сифональной стороной у *Bodylevskites harabylensis*; в ширине пупка: у описываемой формы пупок умеренно широкий (25—33% диаметра), у *N. semilaevis* (Кюппен) умеренно узкий (16% диаметра); в характере ребристости: у изучаемого вида К. в. 4—4,5, ребра направлены вперед под острым углом к радиусу в  $45^\circ$ , у *N. semilaevis* (Кюппен) К. в.—5,2 и ребра расположены почти радиально, а также у последнего нет пережимов и гладкая полоса занимает всю боковую поверхность раковины.

Геологическое и географическое распространение. Нижний валанжин Северной Сибири, зона *Temnoptychites suzganicus*.

Местонахождение. Левый берег р. Харабыл (левый приток р. Анабара) в 3 км от устья, обн. 7, слой 1. Близкая форма найдена на левом берегу р. Половинной (левый приток р. Попигага) в 1,5 км выше устья в осыпи на обн. 7—8.

*Bodylevskites aff. harabylensis* Klimova sp. nov.

Табл. 2, фиг. 5

Материал. Фрагмент жилой камеры, равный  $1/3$  оборота, диаметр которого составлял примерно 55 мм.

Описание. Боковые поверхности плоские, наклонно поставлены к неширокой уплощенной сифональной стороне, поперечное сечение трапециевидноовальное. Стенка пупка невысокая. Пупок умеренно узкий.

Скульптура представлена нечеткими трехветвистыми пучками ребер. Пупковые ребра короткие, высокие, бугорковидные, в нижней четверти оборота делятся на три ветви, которые на сифональной стороне сильно выгибаются вперед. Между пучками ребер имеется одно вставное, которое своим нижним концом приближается, но не присое-

диняется к пучку. Только у 5-го и 6-го из 6 видимых пучков начинается сглаживание ребер в нижней половине боковой поверхности и исчезает четкая связь пупковых и наружных ребер (табл. 2, фиг. 5). На сифональной стороне ребра усиливаются. Имеется один пережим.

Ребра направлены вперед относительно радиуса под углом 65°. Пережим относительно радиуса расположен под углом 40°.

**С р а в н е н и е.** По сохранившимся признакам образец напоминает *Bodyulevskites harabyulensis* sp. nov., но отличается отсутствием гладкой полосы на боковой поверхности, меньшим наклоном ребер, более узким и высоким поперечным сечением.

**Геологическое и географическое распространение.** Нижний валанжин, зона *Temnopychites syzganicus* Северной Сибири.

**Местонахождение.** Левый берег р. Половинной (левый приток р. Попигай) в 1,5 км от устья, обн. 7—8, осыпь слоев с *Neotollia* sp.

*Bodyulevskites polyptychitiformis\* Klimova sp. nov.*

Табл. 2, фиг. 2, 3, рис. 5.

**Голотип.** Коллекция отдела стратиграфии и палеонтологии СНИИГГИМС в Новосибирске, А 8/11 (табл. 2, фиг. 2, 3), р. Анабар, валанжинский ярус, зона *Temnopychites syzganicus*.

**Диагноз.** Дисковидная раковина с умеренно узким пупком, овальным или овально-субпрямоугольным поперечным сечением. Скульптура при  $D=33$  мм представлена преимущественно тройными пучками ребер, среди которых есть полиптихитовые, и многочисленными вставными одиночными и раздваивающимися ребрами; имеются пережимы. С ростом раковины в нижней половине боковой поверхности скульптура понижается и образуется сглаженная полоса.

**Материал.** Один экземпляр средней величины. Минимальный диаметр раковины, доступной для исследования, 33 мм.

**Описание:**

№ обр.	Д	Ш. п., %	В. в., %	в. в., %	Т, %	Ребристость; К. в.; П.
А 8/11	32,6	(7)21	(14,3)44	(9)28	(13)40	Скульптура четкая К. в. 4,4; 4П К. в. 6
»	70 деформация	(17,7)25	(31,2)44		(31)44	

Угол, образуемый пережимом и диаметром раковины (порядковый номер пережима увеличивается с увеличением раковины) —  $D=32,6-4П$ : I —  $\angle 30^\circ$ ; II —  $\angle 50^\circ$ ; III —  $\angle 65^\circ$ ; IV —  $\angle 50^\circ$ .

Раковина дисковидная. Боковые поверхности уплощенные, чуть наклонены к слабо закругленной узкой сифональной стороне. Поперечное сечение овальное (или овально-субпрямоугольное) (рис. 5). Пупок неглубокий, ступенчатый, умеренно узкий. Стенка пупка невысокая, отвесная, гладкая, под прямым закругленным углом сочленяется с боковой поверхностью.

При диаметре раковины 33 мм на более молодой ее части ( $D=25$  мм) скульптура представлена одиночными ребрами или не-

\* *Polyptychitiformis* — полиптихитоподобный.



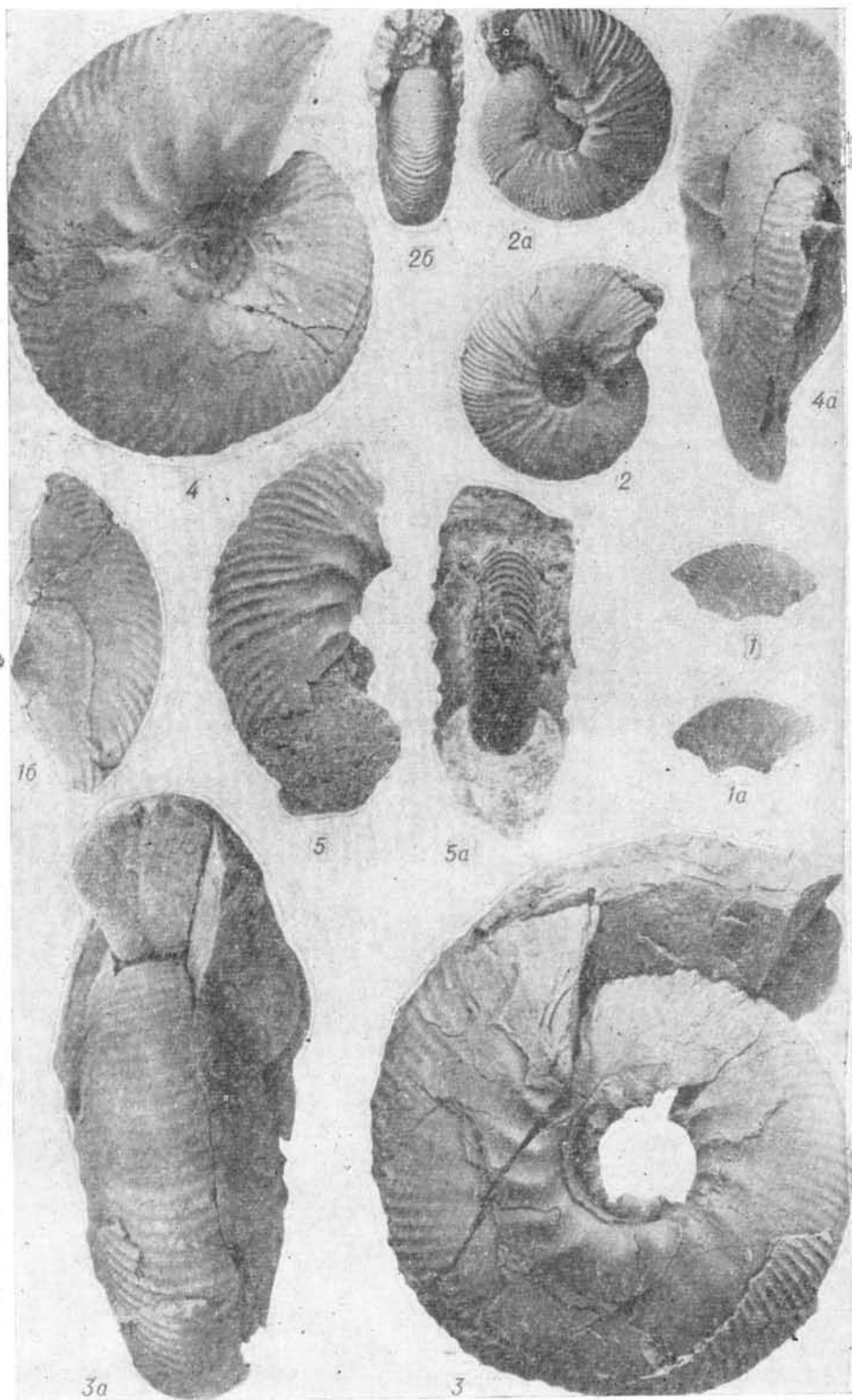




Рис. 5. Лопастная линия голотипа *Bodylevskites polyptychitiformis* Klimova sp. nov. (экз. А 8/11) (наружная часть при  $D=28$  мм).

четко очерченными пучками ребер и вставными одиночными или двойными ребрами. Пупковые ребра начинаются на пупковом перегибе, и в нижней пятой части оборота они раздваиваются или остаются неразветвленными. Вставные ребра нижними концами приближаются к пупковым, но не присоединяются к ним. С ростом раковины характер пучков усложняется. Большинство пучков становятся тройными. Третья ветвь в большинстве случаев отходит от переднего, в трех пучках от заднего ребра. В последнем случае образуется полиптихитовый пучок. Вставные ребра остаются одиночными или разветвленными и свой характер не меняют. Пупковые ребра усиливаются и приобретают вид удлиненных невысоких бугорков. Наружные ребра значительно тоньше и ниже, на сифональной стороне они несколько усиливаются.

Все ребра с радиусом образуют угол около  $40^\circ$ . На сифональной стороне ребра делают небольшую дугу выпуклостью вперед. К. в. на этой стадии роста равен 4,4. При  $D=33$  мм на раковине наблюдается 4 пережима с разными углами наклона. При достижении раковины  $D=70$  мм скульптура представлена короткими пупковыми бугорковидными ребрами, расположенными на пупковом перегибе, и тонкими многочисленными (К. в. 6) наружными ребрами, сильно понижающимися к средне боковой поверхности. Между пупковыми и наружными ребрами в нижней половине боковой поверхности в результате этого образуется сглаженная полоса. Угол наклона ребер к радиусу с ростом раковины становится несколько положе и равен  $55^\circ$ . Пережимы исчезают.

Жилая камера сохранилась неполностью. Ее фрагмент превышает оборот, скульптура жилой камеры аналогична скульптуре взрослого камерного оборота.

Имеющийся материал не позволил выяснить онтогенез лопастной линии (рис. 5), а также зарисовывать ее внутреннюю часть. Зарисована только наружная лопастная линия. Судя по наружной части, она неотличима от таковой *Bodylevskites harabylensis*.

С р а в н е н и е. Описываемая форма меньшей уплощенностью сифональной стороны, овальной формой поперечного сечения, более низким пупком, наличием полиптихитовых пучков, более поздним появлением сглаженности скульптуры на боках и меньшим наклоном ребер отличается от *Bodylevskites harabylensis* Klim. sp. nov.

При  $D=33$  мм наш экземпляр по форме раковины и характеру скульптуры напоминает *Polyptychites* (?) *stubendorffi* (Schmidt) [8, с. 29, табл. V, фиг. 6, 7]. Отличает эти две формы разный характер лопастной линии (как удалось установить, формула лопастной линии *P. stubendorffi* (Schmidt)  $V_1V_1UU^3U_1^3U_1^4U_1^5:U_1^4U_1^3U_1^2ID$ ), а также

Фиг. 1. *Bodylevskites harabylensis* Klim. sp. nov. № А 7/2а, 1, 1а — фрагмент юного оборота, вид сбоку справа и сбоку слева; 1б — фрагмент среднего оборота, вид сбоку, р. Анабар, обн. 1, слой 1. Нижний валанжин, зона *Temnopychites syzranicus*. Фиг. 2—3. *Bodylevskites polyptychitiformis* Klim sp. nov. Голотип, № А 3/11. 2 — юный оборот, вид сбоку слева, вид сбоку справа, поперечное сечение оборота. 3 — наружный оборот, вид сбоку и поперечное сечение оборота, р. Анабар, обн. 8, конкреция между V и VI горизонтами. Нижний валанжин, зона *Temnopychites syzranicus*. Фиг. 4. *Bodylevskites* sp. № 21/3 (3), наружный оборот, вид сбоку, наружная сторона оборота, р. Тигян, обн. 21, слой 3. Нижний валанжин, зона *Temnopychites syzranicus*. Фиг. 5. *Bodylevskites* aff. *harabylensis* Klim. sp. nov. № ПС—7—8/2б, вид сбоку фрагмента жилой камеры и поперечное сечение оборота, р. Поппай, обн. 7—8, осыпь слоев с *Neotollia* sp. Нижний валанжин, зона *Temnopychites syzranicus*

полное отсутствие сходства в строении и скульптуре раковин при их дальнейшем росте.

Общий облик раковины описываемого аммонита при  $D=70$  мм в некоторой мере сближает нашу форму с *Neocraspedites fissuratus* (Коепен) [12, с. 78, табл. V, фиг. 8, 9] и *N. flexicosta* (Koenen) [12, с. 71, табл. V, фиг. 14—15]. Однако наличие ясно очерченных полиптихитовых, бидихотомных и тридихотомных пучков и отсутствие понижения скульптуры на боках у *N. fissuratus* (Koenen), не свойственное описываемому виду, является четким различием между ними.

Геологическое и географическое распространение. Нижний валанжин, зона *Tempoptychites syzranicus* Северной Сибири.

Местонахождение. Левый берег р. Анабара, Климовский утес — обн. 8, конкреция между V и VI горизонтами.

*Bodylevskites* sp.

Табл. 2, фиг. 4, рис. 6.

Материал. Один экземпляр — Т 21/3 (3), частично разрушенный и деформированный. Сохранился фрагмент жилой камеры, равный  $1/2$  оборота.

Описание:

№ обр.	Д	Ш. п.	В. в.	в. в.	Т	К.в.:П.
Т21/3(3)	66,2	(14,7) 22%	(30,4) 45%	(14,5) 22%	22 33%	4,8; 1П

Дисковидная раковина с уплощенными боковыми сторонами, которые наклонно поставлены к слабо закругленной сифональной стороне. Поперечное сечение субпрямоугольно-овальное. Пупок умеренно узкий, неглубокий, ступенчатый. Стенка пупка невысокая, почти отвесная.

Скульптура. Пупковые ребра имеют вид невысоких продолговатых бугорков, которые начинаются у пупкового перегиба и в нижней четверти боковой поверхности ветвятся. У изучаемого экземпляра на самой молодой части оборота, доступной для исследования, наблюдается два двойных пучка, между которыми расположены вставные ребра. Затем, с увеличением раковины, в нижней половине боковой поверхности скульптура понижается и сглаживается, в результате образуется неширокая гладкая полоса между пупковыми и наружными ребрами. К. в. равен 4,8. Наружные ребра, усиленные на сифональной стороне, на боковых поверхностях понижаются, утончаются и совсем сглаживаются. И пупковые и наружные ребра направлены вперед и образуют с радиусом острый угол в  $50^\circ$ . Имеется один пережим с таким же углом наклона. На сифональной стороне ребра образуют пологую дугу выпуклостью вперед. Скульптура жилой камеры ничем не отличается.

Лопастная линия доступна для изучения только в наружной части (рис. 6).

Сравнение. Сохранившиеся признаки: форма раковины, характер пупка и поперечного сечения, скульптура и лопастная линия свидетельствуют о принадлежности описываемого аммонита к р. *Bodylevskites*. Более округлая форма раковины, более узкий пупок, позднее сгла-

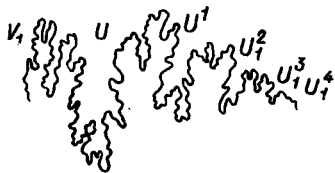


Рис. 6. Лопастная линия *Bodylevskites* sp. (экз. Т 21/3 (3)) (наружная часть при  $D=61$  мм).

живание скульптуры на боках и более полого расположенные ребра отличают описываемую форму от *Bodylevskites harabylensis* Klim. sp. nov. Описываемый аммонит очень близок к *B. polytychitiformis* Klim. sp. nov. Отличается он более сильным наклоном ребер вперед, несколько более покатой пупковой стенкой. Вполне возможно, что описываемая форма подобна *B. polytychitiformis* Klim sp. nov. Для установления степени конформности необходимо выяснить характер скульптуры описываемого аммонита на внутренних оборотах, что не позволяет материал.

**Геологическое и географическое распространение.** Род *Bodylevskites* описан из нижнего валанжина (зона *Temporychites syzranicus*) Северной Сибири.

**Местонахождение.** Правый берег р. Тигян, в 2,5 км выше устья ручья Чайдах-Сене, обн. 21, слой 3 (по описанию Б. Н. Шурьгина).

#### ЛИТЕРАТУРА

1. Воронец Н. С. Стратиграфия и головоногие моллюски юрских и нижнемеловых отложений Лено-Анабарского района. Госгеолтехиздат, 1962. (Тр. НИИГА, т. 110).
2. Дагис А. А. Тоарские аммониты (*Dactyloceratidae*) Севера Сибири. «Наука», 1968. (Тр. ИГиГ СО АН СССР, вып. 40).
3. Дагис А. А. Тоарские аммониты (*Hildoceratidae*) Севера Сибири. Новосибирск, «Наука», 1974. (Тр. ИГиГ СО АН СССР, вып. 99).
4. Князев В. Г. Аммониты и зональная стратиграфия нижнего оксфорда Севера Сибири. Новосибирск, «Наука», 1975. (Тр. ИГиГ СО АН СССР, вып. 275).
5. Крымгольц Г. Я. Методика определения мезозойских головоногих. Л., Изд-во ЛГУ, 1960.
6. Луппов И. П., Бодылевский В. И., Глазунова А. Е. Класс *Cephalopoda*. Головоногие. В кн. Атлас руководящих форм ископаемых фаун СССР. Госгеолтехиздат, 1949.
7. Меледина С. В. Аммониты и зональная стратиграфия байоса-бата Сибири. Новосибирск, «Наука», 1973. (Тр. ИГиГ СО АН СССР, вып. 153).
8. Павлов А. П. Юрские и нижнемеловые *Cephalopoda* Северной Сибири. Зап. АН, сер. 8, т. 21, № 4, 1914.
9. Руженцев В. Е. Надотряд *Ammonoidea*. Аммоноидеи. В кн. Основы палеонтологии. Моллюски — головоногие. Т. I. Гостехиздат, 1962.
10. Шевырев А. А. Онтогенетическое развитие некоторых верхнеюрских аммонитов. БМОИП, отд. геол., 1960, т. XXXV (1).
11. Химшиашвили Н. Г., Бодылевский В. И. и др. Надсемейство *Perisphinctaceae*. В кн. Основы палеонтологии. Моллюски — головоногие. Т. II, Гостехиздат, 1958.
12. Koenen A. Die Ammonitidea Norddeutschen Neocom. Abh. Preuss. Geol. Land — Aust. N. F., 24, 1902.

СНИИГГИМС  
Новосибирск

Поступила в редакцию  
13 мая 1977 г.

I. G. Klimova

#### A NEW AMMONITE GENUS FROM THE LOWER VALANGINIAN OF NORTHERN PART OF CENTRAL SIBERIA

The description of the new genus including two new species from the Lower Valanginian beds of Central Siberia is given. These are probably the most ancient representatives of the family *Polytychitidae*.